

Prediction of Spatial Distribution Pattern of Groundwater Quality Indices in Golestan Province for Agricultural Use by Geostatistics and GIS

Masoomeh Delbari^{*1}, Amin Amini Rakan², Mojtaba Sadeghi Marash³

Abstract

Nowadays one of the key factors controlling development of sustainable agriculture is unsuitable quality of irrigation water. The aim of this study is to predict spatial distribution pattern of groundwater quality indices for agricultural purpose in Golestan province. The spatial variability of EC, TDS, SAR, pH, Na^+ , Cl^- , SO_4^{2-} , Ca^{2+} , HCO_3^- , Na%, ES and PS of water samples obtained from 207 observation wells was investigated. The experimental semivariogram of all parameters was calculated and the best theoretical model was fitted. Ordinary kriging was then used to interpolate the values of investigated parameters at unsampled locations and their spatial distributions were mapped through GIS. The probability maps of exceeding a given critical threshold were produced for some parameters and indices using indicator kriging. The results showed that all water quality parameters have good spatial autocorrelation with spherical structure. Based on US soil salinity laboratory, 95% of the study area has a moderate water quality (C3S1 and C3S2). Based on FAO limit, 89% of the study area has good and moderate water quality. The area with appropriate water quality is about 2592 km² mostly contains eastern, southeastern and northwestern parts of the study area. Moreover based on the probability maps of ES and PS, there is a higher probability of salinity risk in the central regions as well as some parts in the west. The generated maps can help decision-makers and planners to make proper decisions for appropriate use of soil and water resources and development of a sustainable agriculture in the region.

Keywords: ArcGIS, kriging, probability map, spatial variability, water resources quality.

Received: 2016/01/01
Accepted: 2016/06/06

1- Associate Professor, Department of Water Engineering, Faculty of Soil and Water, University of Zabol. Email: mas_delbari@yahoo.com.
2- Former M.Sc. students of water resource, Department of Water Engineering, Faculty of Soil and Water, University of Zabol.
3- Former M.Sc. students of water resource, Department of Water Engineering, Faculty of Soil and Water, University of Zabol.

*- Corresponding Author

پیش‌بینی الگوی پراکنش مکانی شاخص‌های کیفی آب زیرزمینی استان گلستان برای مصارف کشاورزی با استفاده از زمین‌آمار و GIS

مصطفی دلبیری^{*}, امین امینی رکان^۲, مجتبی صادقی مرشت^۳

چکیده

امروزه یکی از موانع توسعه و گسترش کشاورزی پایدار، کیفیت نامناسب آب آبیاری است. این تحقیق، به منظور پیش‌بینی الگوی پراکنش مکانی شاخص‌های کیفی آب زیرزمینی استان گلستان برای مصرف کشاورزی SAR-TDS-EC-PS شوری موثر (ES-Na%-, HCO_3^- , Ca^{2+} , SO_4^{2-} , Cl^- , pH) (شوری بالقوه) مورد بررسی قرار گرفت. ابتدا نیمه‌تغییرنمای تجربی پارامترها محاسبه و بهترین مدل تئوری بر آنها برآورش شد. میان‌یابی پارامترهای مورد بررسی با استفاده از روش کریجینگ صورت گرفت و نقشه‌های پهنه‌بندی شده در محیط GIS تهیه گردید. برای ارزیابی ریسک شوری و سمیت آب، نقشه‌های احتمال عبور از حد آستانه معین برای برخی پارامترها و شاخص‌های کیفی با استفاده از روش کریجینگ شاخص ترسیم شد. نتایج نشان داد تمامی پارامترهای کیفی آب از همبستگی مکانی خوب با ساختار کروی برخوردارند. براساس استاندارد آزمایشگاه شوری خاک امریکا حدود ۹۵٪ منطقه دارای آبی با کیفیت متوسط از نظر شوری و سدیمی (C3S1 و C3S2) می‌باشد. از طرفی بر اساس دستورالعمل FAO ۸۹٪ منطقه از آبی با کیفیت خوب و متوسط برخوردار است. آب با کیفیت خوب بیشتر شامل نواحی شرقی، جنوب شرقی و شمال غربی منطقه با مساحت حدود ۲۵۹۲ کیلومتر مربع می‌باشد. بر اساس نقشه‌های احتمال ES و PS، احتمال بروز مشکل شوری در نواحی مرکزی و بخش‌هایی از غرب منطقه بیشتر است. نتایج این تحقیق می‌تواند کمک موثری به برنامه‌ریزان و مدیران ذیریط در اتخاذ تصمیمات مدیریتی صحیح برای بهره‌گیری مناسب از منابع آب و خاک در راستای نیل به کشاورزی پایدار در منطقه بنماید.

واژه‌های کلیدی: تغییرات مکانی، کریجینگ، کیفیت منابع آب، نقشه احتمال، ArcGIS

تاریخ دریافت مقاله: ۱۳۹۴/۱۰/۱۱
تاریخ پذیرش مقاله: ۱۳۹۵/۰۳/۱۷

۱- دانشیار گروه مهندسی آب، دانشکده آب و خاک، دانشگاه زابل.
۲- دانش آموخته کارشناسی ارشد مهندسی منابع آب، دانشکده آب و خاک، دانشگاه زابل.
۳- دانش آموخته کارشناسی ارشد مهندسی منابع آب، دانشکده آب و خاک، دانشگاه زابل.
*- نویسنده مسئول

مقدمه

مکانی موجود بین مقادیر پارامترها صورت می‌گیرد (گوارتس، ۱۹۹۷). از طرفی با توجه به افزایش حجم داده‌ها، ماهیت رقومی آن‌ها و توسعه‌ی کاربردها و تحلیل‌های مورد نیاز، روش‌های سنتی تحلیل داده‌های مکانی مانند روش‌های آماری نمی‌توانند به تنها‌ی و با اطمینان بالا مورد استفاده قرار گیرند. در این میان، استفاده از سیستم‌های اطلاعات جغرافیایی (GIS) با بهره‌گیری هم‌زمان از روش‌های میان‌یابی زمین‌آماری راه حل مناسبی برای تحلیل و استخراج اطلاعات مفید از داده‌های مکانی می‌باشد که این اطلاعات می‌توانند در تصمیم‌گیری‌های آتی بسیار مؤثر واقع گردند (ویوکس، ۱۹۹۱؛ پانیچونی و همکاران، ۱۹۹۹).

تاكنوون در ارتباط با استفاده از روش‌های زمین‌آماری و GIS برای بررسی تغییرات مکانی و پهنه‌بندی ویژگی‌های شیمیایی آب زیرزمینی مطالعات مختلفی صورت گرفته است. شعبانی (۱۳۸۷) تغییرات مکانی خصوصیات کیفی آب‌های زیرزمینی (شامل pH و TDS) دشت ارسنجان را با استفاده از روش‌های زمین‌آماری و روش‌های معین مورد بررسی قرار داد. نتایج نشان داد که روش کریجینگ معمولی با دارا بودن مقدار ضریب تبیین (R^2) بالاتر و خطای (RMSE) پایین‌تر از دقت بالاتری نسبت به روش‌های معین در تهیه نقشه تغییرات ویژگی‌های کیفی آب‌های زیرزمینی برخوردار است. رضایی و همکاران (۱۳۸۹) در مطالعه‌ای تغییرات مکانی مشخصه‌های مهم کیفیت آب زیرزمینی شامل EC، Na^+ و SAR را در سطح استان گیلان با استفاده از روش‌های زمین‌آماری بررسی کردند. نتایج نشان داد این خواص از ساختار مکانی خوبی برخوردار هستند و در مجموع روش‌های کریجینگ و معکوس فاصله با توان یک دارای دقت بیشتری نسبت به سایر روش‌های مورد استفاده بودند. زهتابیان و همکاران (۱۳۸۹) در مطالعه‌ای به بررسی تغییرات مکانی پارامترهای کاتیون، آئیون، یون سولفات و یون بی‌کربنات اندازه‌گیری شده در تعداد ۴۷ حلقه چاه و قنات و مقایسه روش‌های زمین‌آماری و روش‌های معین در پهنه‌بندی کیفیت آب زیرزمینی دشت گرمسار پرداختند و روش زمین‌آماری کوکریجینگ را به عنوان مناسب‌ترین مدل برگزیدند. حاجی‌هاشمی‌جزی و همکاران (۲۰۱۰) از روش‌های کریجینگ و کوکریجینگ برای برآورد پارامترهای SAR، Na

رشد روزافزون جمعیت و به طبع آن افزایش تقاضا برای تأمین غذا سبب توسعه و گسترش کشاورزی در نقاط مختلف جهان شده است. اما در مسیر این توسعه عوامل محدودکننده‌ای وجود دارد که از جمله مهم‌ترین آن‌ها محدودیت کمی و کیفی منابع آب می‌باشد. بنابراین شناخت تغییرپذیری مکانی کیفیت و کمیت آب‌های زیرزمینی برای مدیریت صحیح منابع تأمین آب در راستای نیل به کشاورزی پایدار ضروری به نظر می‌رسد (دلگادو و همکاران، ۲۰۱۰). مناسب بودن آب برای آبیاری بستگی به مقدار و یا نوع مواد محلول در آن دارد. در اثر آبیاری با آب نامناسب، ممکن است مسائل مختلفی در خاک (شوری و کاهش نفوذپذیری) و گیاه (سمومیت) پیش آید. از طرف دیگر، کیفیت آب یکی از عوامل محدود کننده در توسعه سیستم‌های نوین آبیاری در یک منطقه می‌باشد. کیفیت نامناسب آب سبب گرفتگی گسیلنددها در آبیاری قطره‌ای و یا وارد آمدن صدماتی به گیاه در آبیاری بارانی می‌شود. هدایت الکتریکی (EC) آب در یک منطقه همواره شاخص مناسبی از مقدار شوری آب آن منطقه می‌باشد. استفاده از آب با EC بالا باعث کاهش عملکرد گیاه می‌گردد. همچنین استفاده از آب سدیمی باعث از بین رفتن ساختمان خاک و در نتیجه کاهش نفوذپذیری خاک می‌گردد. میزان سدیم آب با شاخص نسبت جذب سدیم (SAR) که بیانگر فراوانی کاتیون سدیم (Na^+) به مجموع کاتیون‌های کلسیم (Ca^{2+}) و منیزیم (Mg^{2+}) است، نشان داده می‌شود. از طرفی وجود ترکیبات سمی سدیم، کلراید (Cl^- ، بر (B)، بی‌کربنات (HCO_3^-) و نیترات (NO_3^-) در آب آبیاری می‌تواند باعث کاهش عملکرد و گاهی از بین رفتن گیاه شود. آب نیز از لحظه ایجاد مشکلات تغذیه‌ای و یا سمومیت مهم می‌باشد (آیز و وسکات، ۱۹۸۵).

پهنه‌بندی پارامترهای کیفی آب‌های زیرزمینی برای اولویت‌بندی مناطق مناسب به لحاظ آبیاری لازم است. عموماً نمونه‌برداری از تمام نقاط محدوده مطالعاتی محدود نیست، لذا از روش‌های میان‌یابی برای تخمین داده‌ها در نقاط فاقد آمار استفاده می‌گردد. متداول‌ترین روش‌ها، روش‌های میان‌یابی زمین‌آماری (انواع کریجینگ) هستند که در آن‌ها برخلاف روش‌های مبتنی بر آمار کلاسیک، میان‌یابی بر اساس ارتباط

شد. تغییرات مکانی خصوصیات کیفی آب زیرزمینی شامل Ca^{2+} , Mg^{2+} , Na^+ , HCO_3^- , SO_4^{2-} , NO_3^- و Cl^- در منطقه‌ای در هند نیز مورد بررسی قرار گرفت و از روش‌های کریجینگ معمولی و کریجینگ شاخص برای پهنه‌بندی و تهیه نقشه‌های احتمال آسودگی آب زیرزمینی استفاده گردید (ادهیکاری و همکاران، ۲۰۱۰). دلبری و همکاران (۲۰۱۴) تغییرات مکانی پارامترهای کیفی آب زیرزمینی شامل EC, SAR, pH, HCO_3^- , Na^+ و Cl^- را در منطقه فسا مورد بررسی قرار دادند و مناطق مناسب برای آبیاری با سامانه‌های تحت فشار را تعیین کردند. آن‌ها روش کریجینگ شاخص را برای میان‌یابی pH و روش کریجینگ شاخص را برای ارزیابی احتمال عبور مقادیر EC, SAR, Na^+ و Cl^- از حداکثر مجاز آن‌ها در آبیاری بارانی، به کار برdenد. روش کریجینگ شاخص برخلاف روش مرسوم کریجینگ معمولی، امکان ارزیابی عدم قطعیت^۱ تخمین از طریق محاسبه واریانس شرطی تخمین و احتمال تجاوز یا عدم تجاوز یک خصوصیت کیفی آب را از حدود آستانه مشخص فراهم می‌کند و بنابراین در مطالعات مرتبط با تحلیل کیفی آب زیرزمینی بسیار موثر است (دلبری و افراسیاب، ۱۳۹۳).

منابع آب زیرزمینی در استان گلستان از منابع مهم تأمین آب کشاورزی محاسبه می‌شوند و لذا بررسی کیفیت آب زیرزمینی و شناخت تغییرات مکانی آن برای مدیریت و برنامه‌ریزی صحیح منابع آب و نیل به یک کشاورزی پایدار در منطقه مهم و ضروری می‌باشد. از طرفی بررسی نتایج تحقیقات انجام شده در مورد بررسی تغییرات مکانی و پهنه‌بندی ویژگی‌های کیفی آب زیرزمینی در داخل و خارج کشور تا به امروز نشان می‌دهد که روش‌های زمین‌آماری از توانایی خوبی برای پیش‌بینی شکل الگوی پراکنش مکانی این متغیرها بهویژه در صورت وجود خود همبستگی مکانی قوی بین مشاهدات، برخوردار هستند. بنابراین در این پژوهش در نظر است که ابتدا به بررسی تغییرات مکانی ویژگی‌های کیفی آب زیرزمینی با استفاده از تحلیل خود همبستگی مکانی و سپس به میان‌یابی و پهنه‌بندی متغیرها و در خاتمه به اولویت‌بندی مناطق مطلوب از نظر آب آبیاری بر اساس استانداردهای موجود با بهره‌گیری از روش‌های زمین‌آماری و GIS پرداخته شود. همچنین نقشه‌های ریسک

آب زیرزمینی در دشت گلپایگان استفاده کردند. نتایج آن‌ها بیانگر عملکرد مشابه دو روش مذکور بود. دلبری و همکاران (۱۳۸۹) به مقایسه روش‌های کریجینگ معمولی، لوگ کریجینگ، کوکریجینگ و وزن‌دهی معکوس فاصله (IDW) با توانهای یک تا چهار برای بررسی تغییرات مکانی-زمانی عمق و شوری آب زیرزمینی دشت مازندران پرداختند. محمدی قلعه‌خانی و همکاران (۱۳۹۰) در تحقیقی با استفاده از GIS به بررسی تغییرات زمانی و مکانی تراز و کیفیت آب زیرزمینی در آبخوان‌های دشت اراك و ساوه پرداختند. آن‌ها آب زیرزمینی این دو آبخوان را بر اساس روش پیلکوکس جهت مصارف کشاورزی تقسیم بندی کردند. در مطالعه‌ای روش‌های کریجینگ معمولی و لوگ کریجینگ برای پیش‌بینی پراکنش مکانی EC, SAR و pH آب زیرزمینی در دشت کرمان مورد مقایسه قرار گرفت که در مجموع روش کریجینگ معمولی روش مناسب‌تری تشخیص داده شد (دلبری و همکاران، ۱۳۹۲). سلاجمقه و همکاران (۱۳۹۲) از روش‌های زمین‌آماری و روش IDW برای میان‌یابی مشخصه‌های کیفی آب زیرزمینی در دشت کرج استفاده کردند. نتایج، برتری روش کریجینگ با لحاظ متغیر کمکی را نسبت به روش IDW نشان داد. جعفری و بخشندمههر (۱۳۹۳) به پیش‌بینی الگوی پراکنش مکانی شوری و قلیائیت در استان اصفهان با استفاده از روش‌های کریجینگ، وزن‌دهی عکس فاصله و توابع پایه شعاعی پرداختند. نتایج حاکی از برتری روش زمین‌آماری کریجینگ بود. جهانشاهی و همکاران (۱۳۹۳) نیز با بهره‌گیری از روش‌های زمین‌آماری و GIS به اولویت‌بندی آب زیرزمینی دشت شهر بابک از نظر مصارف شرب و کشاورزی پرداختند. در خارج کشور نیز دمیر و همکاران (۲۰۰۹) از روش کریجینگ برای بررسی تغییرات مکانی عمق و شوری آب زیرزمینی مناطق کشاورزی در شمال ترکیه استفاده کردند. نتایج تحقیق آنان حاکی از این بود که قسمت شرقی محدوده مورد مطالعه که دارای زهکشی ضعیفی است، دارای بیشترین خطر برای شوری است. دلگادو و همکاران (۲۰۱۰) از روش کریجینگ برای پهنه‌بندی عناصر کیفی آب زیرزمینی شامل Ca^{2+} , Mg^{2+} , Na^+ , HCO_3^- , SO_4^{2-} , NO_3^- و Cl^- در منطقه یوکاتان مکزیک استفاده کردند. بر اساس نقشه‌های حاصله منطقه مورد مطالعه از نظر کیفیت آب برای کشاورزی به نواحی مختلف تقسیم‌بندی

1- Uncertainty

هکتار را مرتع و در مجموع حدود ۷۰٪ از سطح استان را منابع طبیعی تشکیل می‌دهد. این استان دارای تنوع آب و هوایی خشک و نیمه خشک، معتدل و کوهستانی می‌باشد و میانگین بارندگی سالانه استان حدود ۴۵۰ میلی‌متر است که این میزان در نواحی شمالی آن به حدود ۲۰۰ میلی‌متر و در نواحی جنوبی به حدود ۷۰۰ میلی‌متر می‌رسد. بیشترین بارندگی در فصول سرد سال و کمترین آن در تابستان صورت می‌گیرد. از طرفی ۶۰ درصد بارندگی استان در فصول غیر زراعی (مهر تا فروردین) به وجود می‌آید.

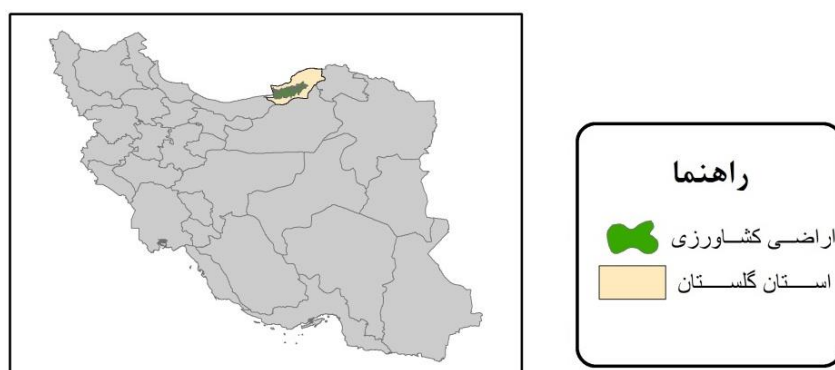
آلوده‌کننده‌های مهم آب زیرزمینی با استفاده از روش کریجینگ شاخص تهیه می‌گردند.

مواد و روش‌ها

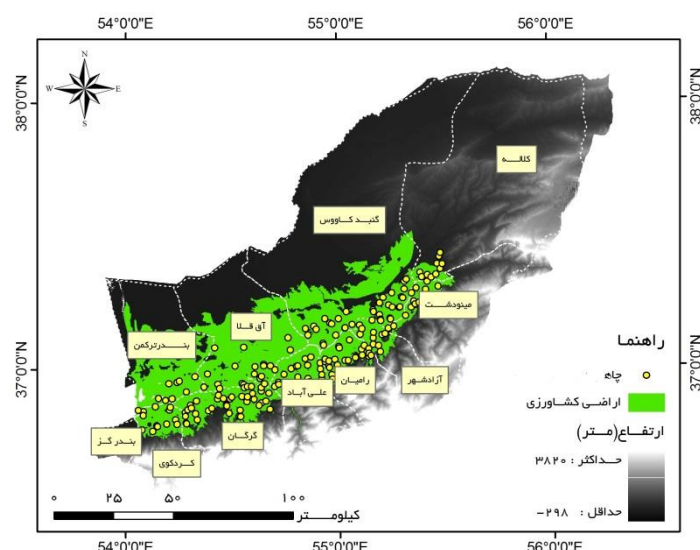
منطقه مورد مطالعه و داده‌های مورد استفاده

منطقه مورد مطالعه شامل اراضی کشاورزی استان گلستان می‌باشد (شکل ۱). مساحت استان گلستان بالغ بر ۲۲ هزار کیلومتر مربع است که حدود $\frac{1}{3}$ درصد از مساحت کل زمین‌های زراعی، نزدیک ۴۳۰۰۰ هکتار را جنگل، ۱۱۲۶۰۰۰

(الف)



(ب)



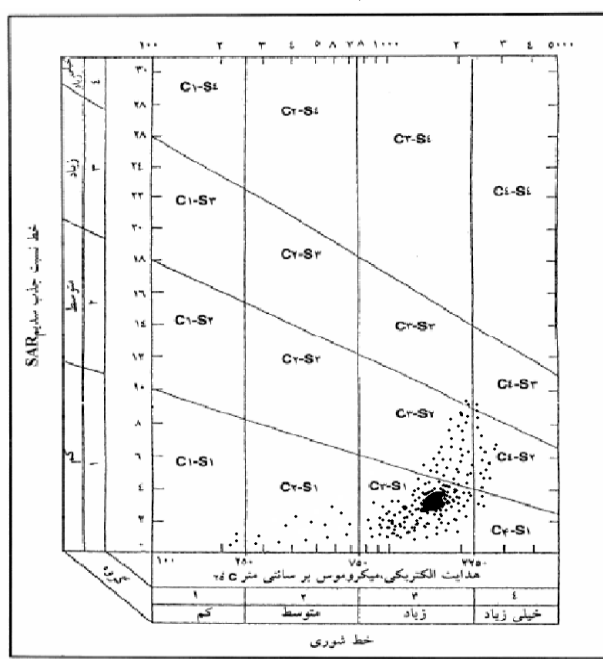
شکل ۱- نقشه موقعیت منطقه مورد مطالعه (الف) و چاه‌های کشاورزی (ب)

در این تحقیق از داده‌های کیفی چاه‌های برداشت آب بهار سال ۱۳۹۰ به دست آمده است، استفاده گردید. تعداد چاه‌ها در حوضه‌ی مورد مطالعه ۲۰۷ عدد بوده (شکل ۱) و کشاورزی که توسط سازمان آب منطقه‌ای استان گلستان در

تصویف کیفیت آب برای آبیاری در EC های بیش از ۲۵۰ میکروموس بر سانتی متر مورد استفاده قرار می گیرند (دلگادو و همکاران، ۲۰۱۰). همانطوری که دونن (۱۹۵۴) بیان کرد مناسب بودن آب برای آبیاری فقط بستگی به غلظت نمکهای محلول آن ندارد، زیرا نمکهای با قابلیت حل پایین در خاک رسوب کرده و با هر نوبت آبیاری بر مقدار آنها در خاک افزوده می شود، این در حالی است که افزایش غلظت نمکهای با قابلیت حل بالا باعث افزایش شوری خاک می گردد. PS خطر افزایش شوری در اثر افزایش Cl^- و SO_4^{2-} را تخمین می زند. افزایش یون های مزبور می تواند باعث افزایش پتانسیل اسمزی محلول خاک زمانی که رطوبت قابل استفاده در خاک کمتر از ۰.۵٪ باشد، گردد. شاخص PS از رابطه زیر محاسبه می گردد (دلگادو و همکاران، ۲۰۱۰):

$$PS = \text{Cl}^- + \frac{1}{2} \text{SO}_4^{2-} \quad [1]$$

بر اساس این پارامتر، کیفیت آب می تواند به سه طبقه خوب ($PS < 3$ meq/lit)، متوسط ($PS = 3\text{--}15$ meq/lit) و بد ($PS > 15$ meq/lit) تقسیم بندی شود (دونن، ۱۹۵۴).



شکل ۲- طبقه بندی کیفیت آب زیرزمینی بر اساس نمودار آزمایشگاه شوری خاک آمریکا (USSL)

متغیرهای کیفی مورد مطالعه شامل هدایت الکتریکی (EC)، نسبت جذب سدیم (SAR)، مقدار کل مواد جامد (TDS)، اسیدیته (pH)، سدیم (Na^+)، کلراید (Cl^-)، سولفات (SO_4^{2-})، کلسیم (Ca^{2+}), بی کربنات (HCO_3^-), درصد سدیم ($\text{Na}\%$) و پتاسیم (K^+) با استفاده از روش های استاندارد اندازه گیری شده اند (APHA، ۲۰۰۵).

کیفیت آب زیرزمینی از نظر کشاورزی

تاکنون روش های مختلف طبقه بندی کیفیت آب برای مصارف کشاورزی پیشنهاد شده است (ریچاردز، ۱۹۵۴؛ شینبرگ و استر، ۱۹۷۸؛ آیز و وسکات، ۱۹۸۵). روش طبقه بندی آزمایشگاه شوری خاک آمریکا (USSL) پر کاربرد ترین روش طبقه بندی آب برای مصارف کشاورزی بر اساس EC و SAR است. بر اساس مقادیر EC، آب برای کشاورزی به گروه های با شوری کم (C1)، شوری متوسط (C2)، شوری بالا (C3) و شوری بسیار بالا (C4) تقسیم می گردد. همچنین کیفیت آب بر اساس SAR می تواند به چهار گروه کم (S1)، متوسط (S2)، بالا (S3) و خیلی بالا (S4) تقسیم گردد (شکل ۲). بدین ترتیب اگر آبی دارای EC کمتر از ۲۵۰ میکروموس بر سانتی متر و SAR (کمتر از ۱۰) باشد دارای کیفیت خیلی خوب بوده و در گروه C₁S₁ قرار می گیرند. آب های با کیفیت خوب (EC کمتر از ۷۵۰ میکروموس بر سانتی متر و SAR بین ۱۰ تا ۱۸) در گروه های C₁S₂، C₂S₁ و C₂S₂ (کمتر از ۲۲۵۰ میکروموس بر سانتی متر و SAR کمتر از ۲۶) قرار گرفته و بقیه ای آبها دارای کیفیت نامناسب هستند (ریچاردز، ۱۹۵۴). همچنین سازمان خوار و بار کشاورزی ملل متحد (FAO) نیز جداولی برای طبقه بندی آب آبیاری بر اساس حدود بحرانی خصوصیات مختلف آب از جمله SAR پیشنهاد نموده است که به عنوان استاندارد کیفیت آب مورد قبول قرار گرفته است (آیز و وسکات، ۱۹۸۵). در جدول ۱، حدود مجاز پارامترهای کیفی آب مورد مطالعه در این تحقیق که توسط FAO تعیین شده است، ارائه شده است. علاوه بر شاخص های کیفی EC و SAR، دو شاخص شوری بالقوه (PS) و شوری موثر (ES) نیز معمولاً برای

1- Food and agriculture organization of the united nations

2- Potential salinity

3- Effective salinity

برای استفاده از آب زیرزمینی در کشاورزی تعیین شد. خلاصه-ای از تئوری تحلیل‌های زمین‌آماری در ذیل ارائه شده است.

نیم‌تغییرنما

اولین قدم از یک تحلیل زمین‌آماری، محاسبه نیم-تغییرنما تجربی و مدل کردن آن است. نیم‌تغییرنما تجربی داده‌های کیفی آب زیرزمینی از رابطه زیر محاسبه گردید (آیزاك و سریواستاوا، ۱۹۸۹):

$$\gamma^*(h) = \frac{1}{2N(h)} \sum_{i=1}^{N(h)} \left\{ wqv(u_i) - wqv(u_i + h) \right\}^2 \quad [6]$$

که در آن $wqv(u_i)$ و $wqv(u_i + h)$ به ترتیب مقادیر اندازه‌گیری شده متغیر کیفی آب^۲ در نقاط u_i و $u_i + h$ بوده و $N(h)$ تعداد جفت مشاهداتی است که به فاصله h از یکدیگر قرار گرفته‌اند. پس از محاسبه نیم‌تغییرنما، بهترین مدل تئوری بر آن برآش می‌شود. در این تحقیق، مدل کروی بهترین برآش را به نیم‌تغییرنما تجربی داده‌های کیفی آب زیرزمینی داشت. برای مطالعه مدل‌های نیم‌تغییرنما خواننده می‌تواند به منابع مختلفی از جمله آیزاك و سریواستاوا (۱۹۸۹) و گوارتس (۱۹۹۷) مراجعه کند.

کریجینگ معمولی

کریجینگ معمولی (OK) یک روش تخمین زمین‌آماری بر منطق "میانگین متحرک وزن دار" است که با استفاده از مقادیر معلوم و پارامترهای مدل نیم‌تغییرنما، مقادیر مجھول را برآورد می‌کند. رابطه کلی تخمین‌گر کریجینگ معمولی به شرح زیر است (گوارتس، ۱۹۹۷):

$$wqv^*(u_0) = \sum_{i=1}^{n(u_0)} \lambda_i wqv(u_i) \quad \text{with} \quad \sum_{i=1}^{n(u_0)} \lambda_i = 1 \quad [7]$$

که در آن $wqv^*(u_0)$ مقدار تخمین زده شده متغیر کیفی آب در نقطه u_0 ، $wqv(u_i)$ مقدار مشاهده شده متغیر در نقطه u_i و λ_i وزن نسبت داده شده به مقدار متغیر در نقطه u_i و $n(u_0)$ تعداد مشاهدات در همسایگی نقطه u_0 می‌باشد. اوزان کریجینگ با استفاده از مشخصات مدل نیم‌تغییرنما متغیر مورد مطالعه محاسبه می‌گردد. جمع وزن‌های اختصاص داده

ES برآورد دقیق‌تری از خطر افزایش فشار اسمزی محلول خاک بر اثر افزایش یون‌های کربنات و بی‌کربنات در خاک فراهم می‌کند. تحت چنین شرایطی کربنات کلسیم و منیزیم و سولفات کلسیم در خاک رسوب کرده و بنابراین افزایش فشار اسمزی محلول خاک متوقف می‌گردد. مقدار ES از رابطه زیر محاسبه می‌گردد (دلگادو و همکاران، ۲۰۱۰):

$$\text{If } Ca^{2+} > (CO_3^{2-} + HCO_3^- + SO_4^{2-}),$$

$$ES = (\sum \text{cations or } \sum \text{anions}) - (CO_3^{2-} + HCO_3^- + SO_4^{2-}) \quad [2]$$

$$\text{If } Ca^{2+} < (CO_3^{2-} + HCO_3^- + SO_4^{2-}) \text{ but } Ca^{2+} > (CO_3^{2-} + HCO_3^-),$$

$$ES = (\sum \text{cations or } \sum \text{anions}) - (Ca^{2+}) \quad [3]$$

$$\text{If } Ca^{2+} < (CO_3^{2-} + HCO_3^-),$$

$$\text{but } (Ca^{2+} + Mg^{2+}) > (CO_3^{2-} + HCO_3^-), \quad [4]$$

$$ES = (\sum \text{cations or } \sum \text{anions}) - (CO_3^{2-} + HCO_3^-)$$

$$\text{If } (Ca^{2+} + Mg^{2+}) < (CO_3^{2-} + HCO_3^-),$$

$$ES = (\sum \text{cations or } \sum \text{anions}) - (Ca^{2+} + Mg^{2+}) \quad [5]$$

در روابط فوق به-

معنى استفاده از بیشترین مقدار کاتیون‌ها و آنیون‌ها می‌باشد.

ES نیز مشابه PS کیفیت آب را به سه گروه خوب، متوسط و بد تقسیم می‌کند.

کاربرد زمین‌آمار و GIS

به منظور بررسی تغییرات مکانی پارامترها و شاخص‌های کیفی آب زیرزمینی، نیم‌تغییرنما تجربی هر کدام در محیط نرم‌افزار GS+ (Robertson, 2000) ترسیم و بهترین مدل تئوری بر آن برآش شد. پس از استخراج مشخصات مربوط به مدل‌های تئوری نیم‌تغییرنماهای صفات مورد نظر، داده‌ها برای میان‌یابی و تهیه لایه‌های رسترنی وارد نرم افزار ArcGIS (اسری، ۲۰۰۴) شد. از تخمین‌گر کریجینگ معمولی^۱ برای تهیه لایه‌های رسترنی استفاده گردید. این لایه‌ها با استفاده از ابزارهای مربوطه در نرم افزار ArcGIS طبقه‌بندی و تلفیق شد و لایه راهنمای کیفیت آب برای کشاورزی بر اساس روش آرمایشگاه شوری خاک آمریکا (USSL) در منطقه به-دست آمد. همچنین نقشه تمامی پارامترها بر اساس محدودیت‌های FAO مورد ارزیابی قرار گرفت و مناطق مطلوب

2- Water quality variable

1- Ordinary kriging

روش ارزیابی

در این تحقیق برای ارزیابی مدل‌های تئوری نیم‌تغییرنما و برآوردهای کریجینگ از روش اعتبار سنجی مقابل (آیزاک و سریوستاوا، ۱۹۸۹)، استفاده شد. معیارهای مقایسه شامل جذر میانگین مربعات خطأ (RMSE)، میانگین انحراف خطأ (MBE) و جذر میانگین مربعات خطأ نرمال شده (NRMSE^۴) بودند:

$$RMSE = \sqrt{\frac{1}{N} \sum_{i=1}^N (wqv^*(u_i) - wqv(u_i))^2} \quad [9]$$

$$MBE = \frac{1}{N} \sum_{i=1}^N (wqv^*(u_i) - wqv(u_i)) \quad [10]$$

$$NRMSE = \frac{RMSE}{u_{\max} - u_{\min}} \quad [11]$$

که در آن، $wqv^*(u_i)$ و $wqv(u_i)$ بهترتب مقدار تخمین زده شده و مقدار مشاهده شده متغیر کیفی آب در نقطه u_i و u_{\max} و u_{\min} بهترتب حداکثر و حداقل مقادیر مشاهده شده متغیر و N تعداد کل مشاهدات می‌باشد.

شده به مقادیر معلوم (λ_i ‌ها)، بایستی برابر واحد گردد. همچنین محاسبه اوزان بایستی بهنحوی باشد که حداقل واریانس کریجینگ فراهم گردد (گوارتس، ۱۹۹۷):

$$\begin{cases} \sum_{j=1}^{n(u_0)} \lambda_j \gamma(u_i, u_j) + \mu = \gamma(u_i, u_0), i = 1, \dots, n(u_0) \\ \sum_{j=1}^{n(u_0)} \lambda_j = 1 \end{cases} \quad [8]$$

که در آن $\gamma(u_i, u_j)$ مقدار نیم‌تغییرنما بین تمام جفت مقادیر اندازه‌گیری شده در نقاط u_i و u_j ضریب لاغرانژین برای به حداقل رساندن واریانس کریجینگ و (u_i, u_0) γ مقدار نیم‌تغییرنما بین موقعیت مورد تخمین (u_0) و i امین نقطه نمونه‌برداری شده می‌باشد.

روش OK بهترین تخمین را در صورت نرمال بودن توزیع داده‌ها ارائه می‌دهد (گوارتس، ۱۹۹۷). بنابراین از آنجا که داده‌های کیفی آب زیرزمینی به طور عمده دارای توزیع غیرنرمال می‌باشند، ابتدا به کمک تبدیلی توزیع داده‌ها نرمال شده، سپس روش OK روی داده‌های تبدیل یافته اعمال می‌شود.

نتایج و یافته‌ها تحلیل آماری

در جدول ۱ آماره‌های اصلی (میانگین، حداقل، حداکثر، انحراف معیار و ضریب تغییرات) و مقدار حداکثر مجاز پارامترهای کیفی مورد مطالعه ارائه شده‌اند. بررسی آماری داده‌ها نشان داد که بجز Na^+ ، HCO_3^- و pH که دارای درصد ضریب تغییرات کمتر از ۱۰۰ هستند، بقیه یون‌ها و شاخص‌ها دارای ضریب تغییرات بالای ۱۰۰ درصد می‌باشند. بیشترین ضریب تغییرات را یون SO_4^{2-} دارد. از طرفی مقایسه محدوده تغییرات متغیرهای مورد مطالعه با حداکثر مجاز آن‌ها برای آبیاری نشان داد که به جز SAR، EC، TDS، Cl^- ، SO_4^{2-} و PS بهترتب در ۹، ۸، ۷، ۱۳، ۱۳ و ۱۰ درصد از نمونه‌های آب، بیشتر از حد مجاز هستند.

نقشه احتمال عبور از یک حد آستانه معین

در بسیاری از تصمیم‌گیری‌ها از جمله مشخص کردن مناطق نامناسب برای کشاورزی از نظر کیفیت آب، نیاز به داشتن آگاهی از احتمال عبور متغیرها یا شاخص‌های کیفی آب آبیاری از یک حد آستانه مشخص است. از آنجا که روش OK قادر به تولید نقشه احتمال نیست، در این تحقیق از روش کریجینگ شاخص (IK) برای تهیه نقشه احتمال عبور SAR، $3000 \text{ } \mu\text{mho/cm}$ و ES بهترتب از حد آستانه $10 \text{ } \mu\text{mho/cm}$ ، 10 meq/lit و 15 meq/lit استفاده گردید. نقشه‌های احتمال معیاری از عدم قطعیت تخمین متغیرها در منطقه مورد مطالعه فراهم می‌کنند (دلبری و افراصیاب، ۱۳۹۳). جزئیات روش IK در منابع مختلف از جمله گوارتس (۱۹۹۷ و ۲۰۰۹) آمده است.

1- Cross validation

2- Root Mean Square Error

3- Mean Bias Error

4- Normalized Root Mean Squared Error

جدول ۱- مقادیر حداکثر مجاز* و شاخص‌های آماری پارامترهای کیفی آب زیرزمینی

پارامتر	واحد	مقدار مجاز	کمینه	بیشینه	انحراف معیار	میانگین	نام
SAR	-	۲۶	۰/۰۴	۱۷/۲۱	۲/۵۵	۱۱۰/۴	
EC	µmho/cm	۳۰۰	۳۴۷	۱۰۲۶۰	۱۶۱۴	۱۰۷/۶	
Na%	Percent	۸۰	۲/۱۷	۸۶/۸۵	۳۱/۰۷	۶۰/۲۲	
Na ⁺	meq/lit	۹	۰/۰۵	۷۵	۵/۶۴	۱۵۷/۱	
Cl ⁻	meq/lit	۱۰	۰/۰۳	۳۴	۴/۱۷	۱۵۱/۵۶	
TDS	mg/lit	۲۰۰	۲۲۴	۶۱۵۴	۹۳۶/۳۵	۱۰۳/۴۴	
SO ₄ ²⁻	meq/lit	۷	۰/۰۸	۸۲	۵/۴۷	۲۱۴/۸۱	
Ca ²⁺	meq/lit	۵	۱	۲۸	۴/۵۲	۱۰۱/۳۳	
HCO ₃ ⁻	meq/lit	۸/۵	۲/۸	۱۲/۲	۵/۴۰	۳۲/۲۲	
pH	-	۸/۴-۶/۵	۷/۰۵	۸/۹	۷/۸	۴/۵	
ES	meq/lit	۱۵	۰/۶۷	۱۰۶/۴۱	۹/۰۱	۱۳/۲۴	۱۴۶/۹۵
PS	meq/lit	۱۵	۰/۴۱	۷۰/۴۸	۶/۷۷	۱۰/۴۵	۱۵۴/۳۶

* مقادیر حداکثر مجاز Ayres and Westcott (1985) و Richards (1956) و Doneen (1954) استخراج شده است.

۴۴۰۰۰ و ۱۰۳۰۰۰ متر تعیین گردید. به این ترتیب یون

HCO₃⁻ دارای بیشترین همبستگی مکانی در سطح منطقه استند.

میان‌یابی مکانی

نتایج مربوط به ارزیابی متقابل برآورد خصوصیات کیفی آب توسط روش لوگ-کریجینگ معمولی (pH و Na⁺) و کریجینگ معمولی (سایر پارامترها) در جدول ۳ ارائه شده است. کمترین ضریب همبستگی (r) بین مقادیر واقعی و برآورده شده مربوط به Ca²⁺ (۰/۴۶) و بیشترین آن مربوط به pH (۰/۷۵) می‌باشد. مقایسه مقادیر MBE نشان می‌دهد روش کریجینگ مقادیر EC, TDS, Cl⁻, SO₄²⁻, Ca²⁺, ES, PS و Na⁺ را کمتر از مقادیر واقعی و مقادیر SAR, HCO₃⁻ و Na% می‌باشد. نتایج نشان داد که بهترین مدل نیم‌تغییرنما برای تمامی پارامترها مدل کروی با $r^2 = 0.99$ است. با توجه به جدول ۲ نسبت بخش تصادفی (C_0) به کل تغییرپذیری ($C_0 + C$) نیم‌تغییرنماها کمتر از ۵٪ می‌باشد که نشان‌دهنده همبستگی مکانی متوسط تا قوی برای اکثر پارامترهای مورد مطالعه می‌باشد. همچنین شاعع تأثیر SAR, EC, TDS, Na⁺, Cl⁻, Na% و PS حدود ۱۸۰۰۰ تا ۲۱۰۰۰ متر، شاعع تأثیر SO₄²⁻ و Ca²⁺ به ترتیب حدود ۲۵۰۰۰ و ۲۶۳۰۰ متر به دست آمد. بیشترین شاعع تأثیر برای pH و HCO₃⁻ به ترتیب برابر با

تحلیل خودهمبستگی مکانی

برای بررسی تغییرات مکانی خصوصیات کیفی مورد مطالعه، نیم‌تغییرنمای تجربی لگاریتم داده‌ها (به جز Na^+ و pH) که از داده‌های خام استفاده شد) محاسبه شده و سپس بهترین مدل تئوری بر آن‌ها برآش شد. مشخصات بهترین مدل تئوری نیم‌تغییرنما جدول ۲ ارائه شده است. لازم به ذکر است در جدول ۲ ستون‌های r^2 (ضریب تبیین) و RSS (مجموع مربعات باقی‌مانده) به ترتیب نشان‌دهنده‌ی همبستگی و خطای مربوط به برآش مدل بر نیم‌تغییرنمای تجربی پارامترها می‌باشد. مقادیر r^2 هر چه به ۱ نزدیک‌تر بوده و مقدار RSS هر چه کوچک‌تر باشد، نشان‌دهنده‌ی برآش بهتر مدل می‌باشد. بهترین مدل نیم‌تغییرنما بر اساس روش ارزیابی متقابل تعیین گردید. نتایج نشان داد که بهترین مدل نیم‌تغییرنما برای تمامی پارامترها مدل کروی با $r^2 = 0.90$ تا ۰/۹۹ است. با توجه به جدول ۲ نسبت بخش تصادفی (C_0) به کل تغییرپذیری ($C_0 + C$) نیم‌تغییرنماها کمتر از ۵٪ می‌باشد که نشان‌دهنده همبستگی مکانی متوسط تا قوی برای اکثر پارامترهای مورد مطالعه می‌باشد. همچنین شاعع تأثیر SAR, EC, TDS, Na⁺, Cl⁻, Na% و PS به ترتیب حدود ۱۸۰۰۰ تا ۲۱۰۰۰ متر، شاعع تأثیر SO₄²⁻ و Ca²⁺ به ترتیب حدود ۲۵۰۰۰ و ۲۶۳۰۰ متر به دست آمد. بیشترین شاعع تأثیر برای pH و HCO₃⁻ به ترتیب برابر با

جدول ۲- مشخصات بهترین مدل نیم‌تغییرنما برآورد شده به نیم‌تغییرنما تجربی پارامترهای کیفی مورد مطالعه

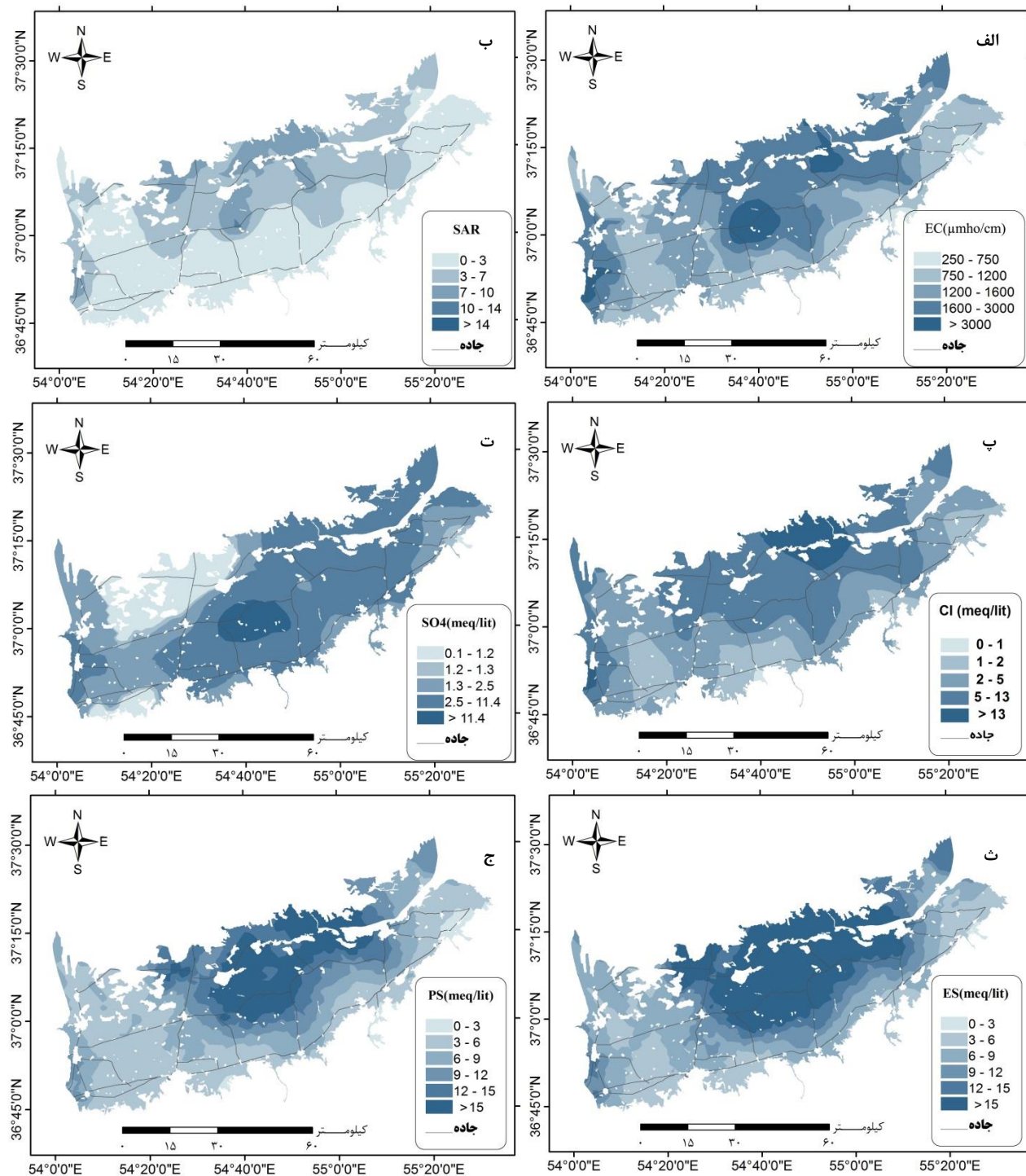
RSS	r^2	دامنه تأثیر (متر)	آستانه	اثر قطعه‌ای	بهترین مدل	واحد	متغیر
۰/۰۰۸	۰/۹۲	۱۷۶۰۰	۰/۴۳۴	۰/۱۷۲	کروی	$\mu\text{mho}/\text{cm}$	Ln EC
۰/۰۰۸	۰/۹۲	۱۷۶۰۰	۰/۴۱۶	۰/۱۶۶	کروی	mg/lit	Ln TDS
۰/۰۷۲	۰/۹۴	۱۹۵۰۰	۱/۱۸	۰/۲۲۹	کروی	-	Ln SAR
۰/۰۹۹	۰/۹۴	۱۸۲۰۰	۱/۴۴۶	۰/۳۵۳	کروی	meq/lit	Ln Na^+
۰/۰۵۸	۰/۹۵	۱۸۶۰۰	۱/۳۲۶	۰/۴۲	کروی	meq/lit	Ln Cl^-
۰/۰۰۰۱	۰/۹۹	۴۴۰۰۰	۰/۱۴۰	۰/۰۴۷	کروی	-	pH
۰/۰۶۹	۰/۹۵	۲۵۰۰۰	۱/۴۰۵	۰/۵۰	کروی	meq/lit	Ln SO_4^{2-}
۰/۰۰۴	۰/۹۶	۲۶۳۰۰	۰/۳۸۸	۰/۱۴۷	کروی	meq/lit	Ln Ca^{2+}
۵۱۵۳	۰/۹۷	۲۱۰۰۰	۳۶۷/۲	۴۰/۰۰	کروی	Percent	Na%
۰/۰۰۰۱	۰/۹۹	۱۰۳۰۰۰	۰/۱۰۷	۰/۰۵	کروی	meq/lit	Ln HCO_3^-
۰/۰۴۹	۰/۹۲	۱۸۴۰۰	۱/۰۷۹	۰/۴۱	کروی	meq/lit	Ln PS
۰/۰۴۲	۰/۹۰	۱۸۶۰۰	۰/۸۹۸	۰/۳۷۵	کروی	meq/lit	Ln ES

جدول ۳- نتایج ارزیابی متقابل برآورد پارامترهای کیفی مورد مطالعه توسط روش (لوگ) کریجینگ معمولی

NRMSE	R	MBE	RMSE	واحد	متغیر
۰/۱۴	۰/۵۴	-۷۶/۱	۱۳۷۱/۰۰	$\mu\text{mho}/\text{cm}$	EC
۰/۱۴	۰/۵۴	-۴۱/۶۱	۸۲۳/۲۲	mg/lit	TDS
۰/۱۱	۰/۶۷	۰/۱۲	۱/۹	-	SAR
۰/۱۴	۰/۷۳	۰/۶۸	۱۲/۱۱	percent	Na%
۰/۱۰	۰/۵۷	۰/۰۳	۷/۲۳	meq/lit	Na^+
۰/۱۶	۰/۴۷	-۰/۱۷	۵/۳۲	meq/lit	Cl^-
۰/۱۲	۰/۷۵	۰/۰۰	۰/۲۳	-	pH
۰/۱۱	۰/۶۷	-۰/۸۸	۸/۷۳	meq/lit	SO_4^{2-}
۰/۱۵	۰/۴۶	-۰/۲۲	۴/۰۷	meq/lit	Ca^{2+}
۰/۱۵	۰/۵۵	۰/۰۷	۱/۴۵	meq/lit	HCO_3^-
۰/۱۲	۰/۵۵	-۰/۴۶	۸/۷۰	meq/lit	PS
۰/۱۰	۰/۵۷	-۰/۵۳	۱۰/۸۵	meq/lit	ES

شده و آب زیرزمینی در این مناطق برای مصارف کشاورزی مناسب نیست. مشابه نقشه EC، SAR، Cl^- (شکل ۳) نیز روند کاهشی این پارامترها را با حرکت از سمت شمال به جنوب و غرب منطقه (به جز بخش کوچکی در غرب) نشان می‌دهند.

نقشه‌های پهنه‌بندی EC، SO_4^{2-} , Cl^- , SAR, ES و PS تهیه شده توسط روش لوگ کریجینگ در شکل ۳ نشان داده شده است. همانطوری که از نقشه EC ملاحظه می‌شود، شوری آب زیرزمینی در مناطق شمالی و مرکزی و مناطقی از غرب اراضی کشاورزی استان گلستان بیشتر از سایر نقاط است. مناطق با EC بیشتر از ۳۰۰۰ میکرومیکرون بر سانتی‌متر (مثلاً بخشی در مرکز منطقه مورد مطالعه) جزو مناطق شور محسوب



شكل ۳- نقشه پهنه‌بندی EC (الف)، SAR (ب)، Cl⁻ (ج)، SO₄²⁻ (د)، PS (ه) و ES (ت) در اراضی کشاورزی استان گلستان

خواهد شد که با اتخاذ تصمیم‌های کنترلی استحصال منابع آب زیرزمینی می‌توان بروز این قبیل مشکلات را به تعویق انداخت. از طرفی نقشه سولفات آب زیرزمینی نشان می‌دهد که کمترین میزان- SO_4^{2-} در نیمه غربی منطقه، به‌جز بخش کوچکی از

نتایج نشان داد که بجز در نواحی کوچکی از شرق، مرکز و غرب منطقه، مقدار SAR کمتر از ۸ است و بنابراین پتانسیل بروز مشکل نفوذپذیری در خاک استان گلستان وجود ندارد. بخش‌های کوچکی از این استان احتمالاً در آینده دچار این مشکل

SAR و EC به ۴ طبقه بر اساس نمودار آزمایشگاه شوری خاک آمریکا، برای هر طبقه وزنی در نظر گرفته شد (جدول ۴). سپس با استفاده از ابزار Raster calculator لایه‌ها با هم تلفیق شدند و محدوده مربوط به هر طبقه استخراج گردید. در شکل ۴ نقشه‌ی پهنه‌بندی آب آبیاری بر اساس نمودار آزمایشگاه شوری خاک آمریکا رسم گردیده است. مساحت‌های هر طبقه در محیط GIS استخراج شد که در جدول ۵ ارائه شده است. نتایج نشان می‌دهد که حدود ۷۳٪ منطقه در گروه C3S1 و حدود ۲۳٪ منطقه در گروه C3S2 قرار دارند. بنابراین در مجموع حدود ۹۶٪ منطقه مورد مطالعه دارای آبی با کیفیت متواتر از نظر شوری و سدیمی می‌باشد. به عبارتی کمتر از ۵٪ منطقه (بخش‌هایی از نواحی مرکزی (واقع در گنبد کاووس و آق‌قلای) و بخش کوچکی از غرب منطقه (واقع در بندر ترکمن)) دارای کیفیت آب نامناسب برای کشاورزی است.

جدول ۴- وزن‌های تعیین شده برای نشانه‌های C و S نمودار آزمایشگاه شوری خاک آمریکا در لایه رستر

نشانه	EC ($\mu\text{mho}/\text{cm}$)	وزن در لایه رستر	نشانه	SAR	وزن در لایه رستر
C1	۲۵۰--۰	۱	S1	۱۰--۰	۱۰
C2	۷۵۰-۲۵۰	۲	S2	۱۸-۱۰	۲۰
C3	۲۲۵۰-۷۵۰	۳	S3	۲۶-۱۸	۳۰
C4	>۲۲۵۰	۴	S4	>۲۶	۴۰

غیرمجاز (۱) طبقه‌بندی شد. سپس این لایه‌ها با یکدیگر تلفیق گردید و نقشه‌ای با پنج ناحیه مشخص با شماره‌های ۱ تا ۵ که توضیح هر یک در زیر آمده است، تولید شد (شکل ۵). مساحت مربوط به هر ناحیه نیز محاسبه و در جدول ۶ ارائه شده است.

غرب، وجود دارد و بخش‌هایی از نواحی مرکزی دارای بیشترین میزان SO4²⁻ هستند. نقشه پهنه‌بندی ES در شکل ۳ نشان می‌دهد که بیشترین شوری موثر آب زیرزمینی در نواحی شمالی و مرکزی و کمترین آن در شمال شرقی، نواحی جنوبی و غربی منطقه دیده می‌شود. از طرفی نقشه PS (شکل ۳) نیز به طور مشابه نشان دهنده بیشتر بودن میزان شوری پتانسیل آب زیرزمینی در نواحی شمالی و مرکزی منطقه مورد مطالعه می‌باشد.

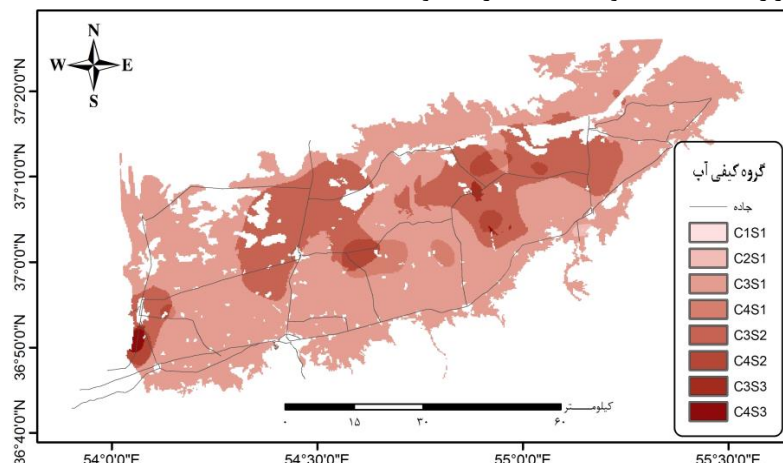
طبقه‌بندی کیفیت آب بر اساس روش آزمایشگاه شوری خاک آمریکا (USSL)

همانطوری که در دیاگرام ارائه شده توسط آزمایشگاه شوری خاک آمریکا (شکل ۲) نشان داده شده است، مقادیر EC و SAR در سطح استان گلستان در ۴ ناحیه مختلف از نظر کیفیت آب قرار می‌گیرند. پس از طبقه‌بندی لایه‌های رستری

جدول ۴- وزن‌های تعیین شده برای نشانه‌های C و S نمودار آزمایشگاه شوری خاک آمریکا در لایه رستر

طبقه‌بندی کیفیت آب بر اساس دستورالعمل سازمان خوار و بار کشاورزی (FAO)

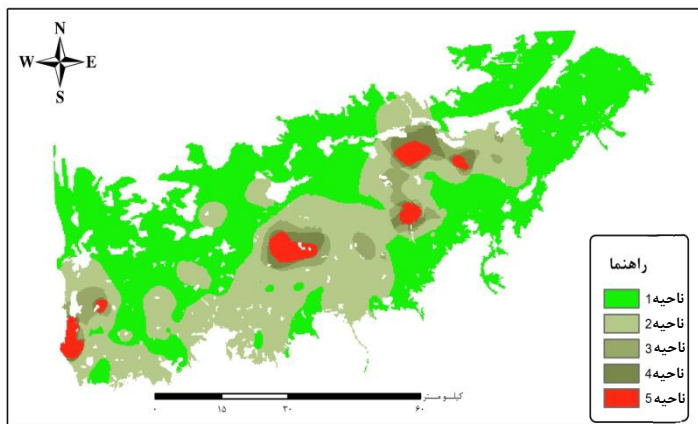
در این روش محدوده اعداد لایه‌های رستری تولید شده برای هر یک از متغیرها، براساس حدود مجاز ارائه شده در جدول ۱، در محیط نرم‌افزار ArcGIS به دو قسمت مجاز (۰) و



شکل ۴- نقشه پهنه‌بندی کیفی آب بر اساس نمودار آزمایشگاه شوری خاک آمریکا

جدول ۵- مساحت طبقات بدست آمده از تلفیق لایه‌های رستری با استفاده از GIS

طبقه کیفی آب	وزن گروه کیفی آب	مساحت (کیلومترمربع)	مساحت (%)
۰/۰۵	۱	۱۱	C1S1
۰/۱۷	۸	۱۲	C2S1
۷۲/۶۶	۳۳۲۵	۱۳	C3S1
۲/۰۳	۹۳	۱۴	C4S1
۲۲/۱۵	۱۰۱۴	۲۳	C3S2
۲/۴۴	۱۱۲	۲۴	C4S2
۰/۲۴	۱۱	۳۳	C3S3
۰/۲۶	۱۲	۳۴	C4S3



شکل ۵- نقشه پهنه‌بندی کیفی آب زیرزمینی برای کشاورزی بر اساس دستورالعمل سازمان خوار و بار کشاورزی (FAO). نواحی ۱ تا ۵ به ترتیب دارای کیفیت بسیار خوب تا غیرقابل استفاده می‌باشند که جزئیات آن در داخل متن ارائه شده است

جدول ۶- مساحت‌های طبقات کیفی آب بر اساس دستورالعمل سازمان خوار و بار کشاورزی (FAO)

ناحیه	۱	۲	۳	۴	۵	مساحت (کیلومترمربع)
مساحت (%)	۵۶	۳۳	۴/۵	۳	۳/۵	۱۳۳

ناحیه ۱: در این ناحیه با مساحت ۲۵۹۲ کیلومتر مربع (نواحی شرقی، جنوب شرقی، شمالی و شمال غربی) که حدود ۵۶٪ کل اراضی کشاورزی استان گلستان را در بر گرفته است، هیچ‌یک از پارامترهای مورد بررسی از حد مجاز تجاوز نکرده است، بهمین دلیل هیچ‌یک از مشکلات شوری، نفوذپذیری و سمیت آب آبیاری برای گیاهان وجود ندارد؛ لذا آب زیرزمینی این ناحیه برای کشاورزی مطلوب می‌باشد.

عبور از یک حد آستانه معین برای برخی پارامترها و شاخص‌های کیفی آب با استفاده از روش IK ترسیم گردید. در شکل ۶ نقشه احتمال عبور از حد آستانه $\mu\text{mho}/\text{cm}$, ۳۰۰۰ meq/lit ۱۵ و PS ترسیم شده است. همانطوری که شکل ۶ (الف) نشان می‌دهد در بیشتر اراضی کشاورزی استان گلستان، احتمال عبور شوری از حد اراضی کشاورزی استان گلستان، ۴۰ کمتر از $\mu\text{mho}/\text{cm}$ درصد است. در بخش‌هایی از مرکز و شمال منطقه این احتمال بین ۴۰ تا ۶۰ درصد می‌باشد. از طرفی احتمال عبور شوری موثر از حد meq/lit ۱۵ در بخش قابل توجهی از نواحی مرکزی و بخش کوچکی از شمال و غرب منطقه بین ۴۰ تا ۶۰ درصد می‌باشد. از طرفی احتمال عبور پتانسیل شوری از حد meq/lit ۱۵ (شکل ۶ پ) در بیشتر اراضی کشاورزی استان کمتر از ۲۵ درصد می‌باشد. در بخش قابل توجهی از نواحی مرکزی، شمالی و غربی منطقه، این احتمال بین ۲۵ تا ۵۰ تا ۵۰ درصد و تنها در بخش بسیار کوچکی از شمال منطقه، این احتمال بیشتر از ۵۰ درصد می‌باشد. در شکل ۷ نقشه احتمال عبور از حد آستانه meq/lit ۱۰ و meq/lit ۷ به ترتیب برای Cl^- و SO_4^{2-} رسم شده است. همانطوری که در شکل ۷ (الف) مشاهده می‌شود احتمال عبور یون کل آب زیرزمینی از meq/lit ۱۰ در اکثر مناطق کمتر از ۴۰ درصد است، بنابراین احتمال بروز مشکل سمیت کلر تقریباً پایین است به جز بخش‌هایی از غرب منطقه که این احتمال بین ۴۰ تا ۶۰ درصد می‌باشد. از طرفی بر اساس نقشه احتمال SO_4^{2-} ، بخش‌هایی از نواحی مرکزی به احتمال ۴۰ تا ۸۰ درصد دارای سولفات بالای meq/lit ۷ بوده که البته نواحی دارای احتمال بیش از ۶۰ درصد بسیار کوچک می‌باشد. این در حالی است که در سایر قسمت‌ها این احتمال زیر ۴۰ درصد است. در مجموع نتایج حاصل از نقشه‌های احتمال نیز حاکی از کیفیت خوب تا متوسط آب زیرزمینی در بیشتر اراضی منطقه مورد مطالعه است و احتمال بروز مشکل شوری یا سمیت تنها در بخش‌هایی از نواحی مرکزی و نوار غربی منطقه وجود دارد.

ناحیه ۲: در این ناحیه با مساحت ۱۵۴۴ کیلومتر مربع (۳۳٪ کل اراضی کشاورزی) که بیشتر شامل نیمه جنوبی اراضی کشاورزی استان می‌شود، آب زیرزمینی دارای مقدادر بیشتری (نسبت به ناحیه ۱) از نمک‌های محلول بوده ولی هنوز هم مشکلات شوری و نفوذپذیری وجود ندارد، بنابراین هرچند استفاده از آب این نواحی برای آبیاری بلامانع است ولی استفاده بیش از حد از این نوع آب‌ها برای گیاهان حساس به این عناصر ممکن است باعث کمتر شدن عملکرد آن‌ها گردد (آیز و وسکات، ۱۹۸۵).

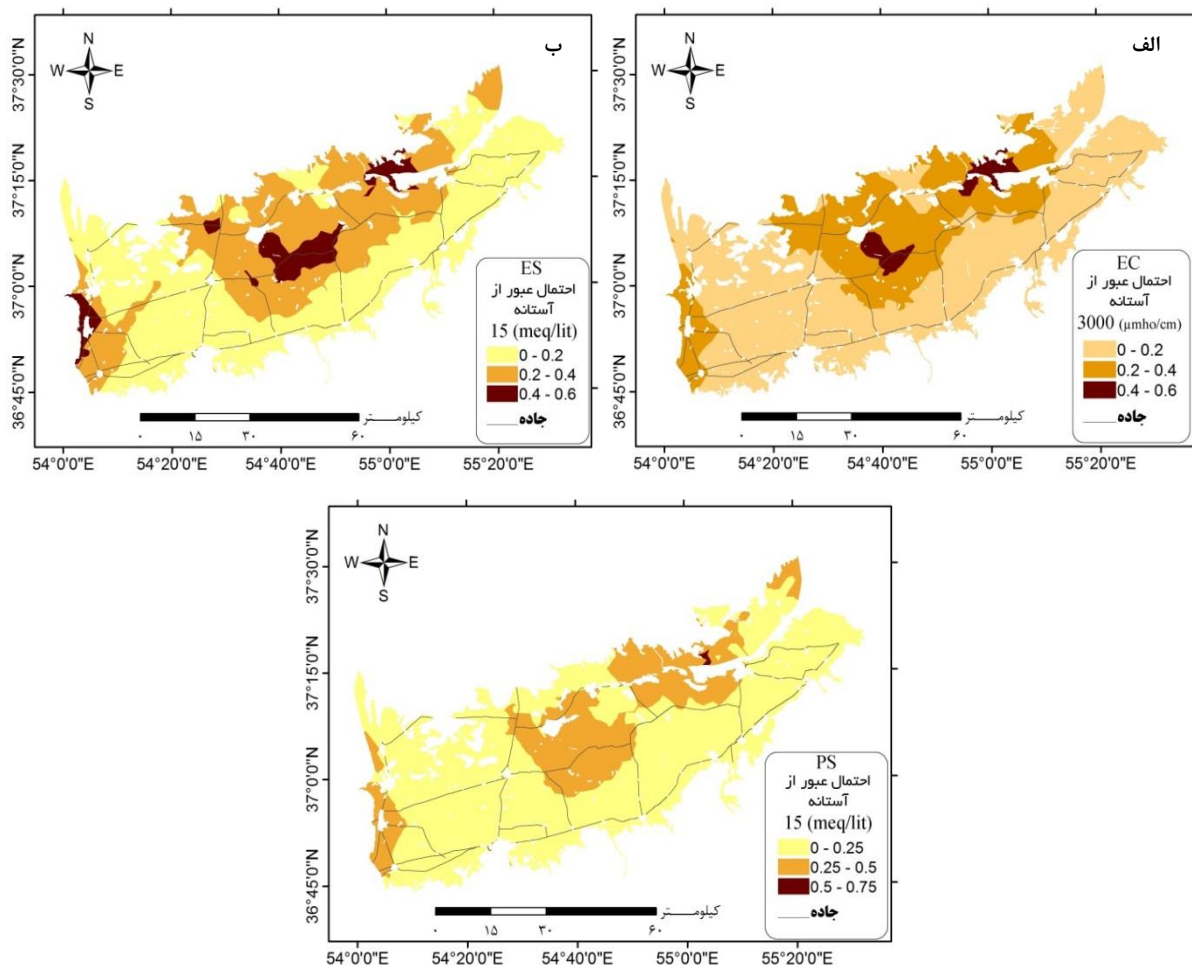
ناحیه ۳: در این ناحیه مقدار EC از حد مجاز آن (۳۰۰۰ میکرومیس بر سانتی‌متر) تجاوز کرده است. علاوه بر این، در برخی مناطق میزان SO_4^{2-} و Cl^- نیز تاحدودی بالاست. بهمین دلیل آب زیرزمینی این ناحیه برای کشاورزی مطلوب نمی‌باشد.

ناحیه ۴: در این ناحیه مقدادر EC، Cl^- و Na^+ از حد مجاز خود تجاوز کرده است. استفاده از آب این ناحیه مشکلات شوری و نفوذپذیری برای خاک و در نتیجه کاهش عملکرد گیاه را به دنبال خواهد داشت.

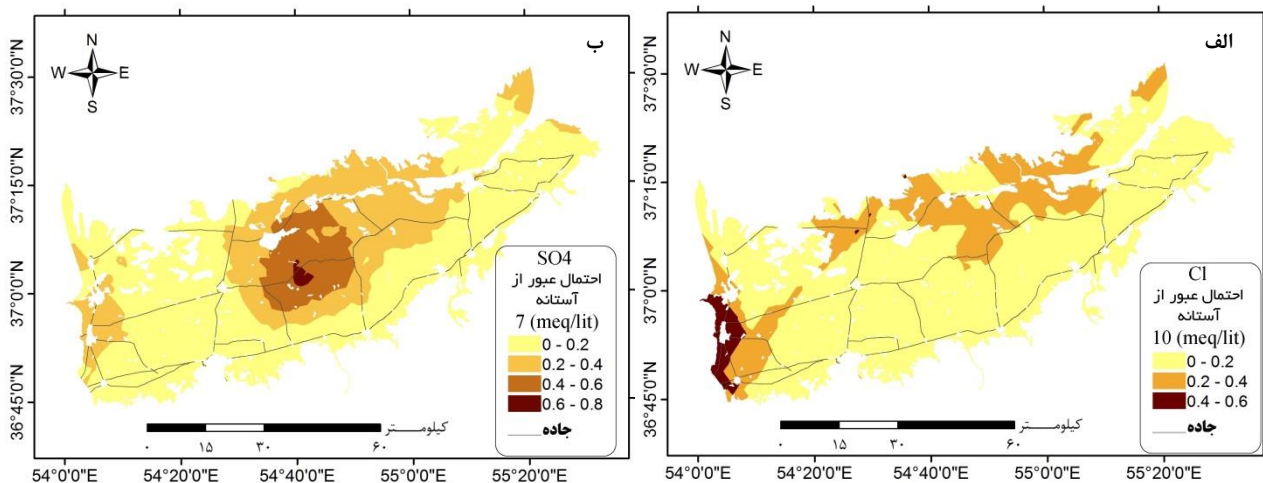
ناحیه ۵: استفاده از آب این ناحیه (شامل بخش‌هایی از گند کاووس، آق‌قلاء و بندر ترکمن) برای آبیاری مشکلات شدیدی را به وجود خواهد آورد. در این ناحیه مقدار EC از حد مجاز خود تجاوز کرده است. مقدار سدیم و بی‌کربنات نیز از حد مجاز تجاوز کرده که این موضوع باعث ایجاد مشکل نفوذپذیری می‌شود. همچنین در این ناحیه به دلیل بالا بودن مقدار پارامترهای Cl^- ، SO_4^{2-} ، HCO_3^- و نیز تجاوز مقدار pH آب از حد مجاز مشکل مسمومیت برای گیاهان ایجاد خواهد شد.

نقشه احتمال عبور از حد آستانه

همان‌طوری که قبل ذکر گردید، تخمین‌های روش OK مانند هر تخمین‌گر دیگری همواره با مقداری عدم قطعیت همراه است. برای بررسی عدم قطعیت تخمین‌ها و طبقه‌بندی‌های به دست آمده در مورد کیفیت آب منطقه، نقشه احتمال



شکل ۶- نقشه احتمال عبور EC از حد آستانه ۳۰۰۰ $\mu\text{mho}/\text{cm}$ (الف)، ES از حد آستانه ۱۵ meq/lit (ب) و PS از حد آستانه ۱۵ meq/lit (پ)



شکل ۷- نقشه احتمال عبور Cl⁻ از حد آستانه ۱۰ meq/lit (الف) و SO₄²⁻ از حد آستانه ۷ meq/lit (ب)

آب زیرزمینی از جمله شاخص‌های ES و PS برگزیند. ادھیکاری و همکاران (۲۰۱۰) نیز برای تمامی خصوصیات شیمیایی آب به جز کلسیم و نیترات، مدل کروی را بهترین مدل نیم‌تغییرنما تعیین کردند. در تحقیق دلبری و همکاران (۲۰۱۴) ساختار مکانی pH و HCO_3^- نمایی و ساختار مکانی داخل کلاس SAR، EC و Na^+ به طور عمد، کروی گزارش شد.

نتایج بررسی مناسب‌بودن کیفیت آب زیرزمینی برای استفاده در کشاورزی بر اساس آزمایشگاه شوری خاک امریکا نشان داد که در حدود ۹۶٪ منطقه، کیفیت آب متوسط می‌باشد. در نواحی دارای کیفیت متوسط که مقادیر EC و SAR مطالعه ادھیکاری و همکاران (۲۰۱۰)، توزیع فراوانی Na^+ و pH غیر نرمال می‌باشد؛ لذا به کمک تبدیل لگاریتمی طبیعی، توزیع داده‌های مورد نظر نرمال شد. در مطالعه ادھیکاری و همکاران (۲۰۱۰)، توزیع فراوانی Cl^- ، Na^+ ، Ca^{2+} ، Mg^{2+} و EC لوگ‌نرمال و توزیع فراوانی SAR نرمال تشخیص داده شد. در تحقیق دلگادو و همکاران (۲۰۱۰) توزیع فراوانی K^+ ، NO_3^- ، Mg^{2+} ، Cl^- ، Na^+ و SO_4^{2-} لوگ‌نرمال گزارش شد. دلبری و همکاران (۱۳۸۹) توزیع فراوانی آب زیرزمینی را لوگ‌نرمال تشخیص دادند. جهانشاهی و همکاران (۱۳۹۳) نیز توزیع فراوانی متغیرهای کیفی آب زیرزمینی از قبیل شوری و سدیمی را لوگ‌نرمال گزارش کردند. در تحقیق دلبری و همکاران (۲۰۱۴) توزیع فراوانی EC، SAR و Na^+ و Cl^- ، لوگ‌نرمال و توزیع فراوانی pH و HCO_3^- نرمال به دست آمد. توزیع فراوانی EC و SAR در مطالعات دیگری نیز لوگ-نمایی داشته باشد (جعفری و همکاران، ۱۳۹۱؛ بخشندمه‌هر، ۱۳۸۹؛ دلبری و همکاران، ۱۳۹۳).

از طرفی بر اساس استاندارد FAO به ترتیب ۵۶٪ و ۳۳٪ منطقه از آبی با کیفیت خوب و متوسط برای آبیاری بخوردارند. در نواحی با کیفیت متوسط مشکلات شوری و نفوذپذیری وجود ندارد ولی استفاده بیش از حد از این نوع آب‌ها برای گیاهان حساس به این عناصر ممکن است باعث کمتر شدن عملکرد آن‌ها گردد (آیز و وسکات، ۱۹۸۵). بر اساس استاندارد FAO مطلوب‌ترین آب زیرزمینی از نظر تمامی خصوصیات مورد بررسی برای کشاورزی در نواحی شرقی، جنوب شرقی و شمال غربی و بخش‌هایی از شمال منطقه با مساحت حدود ۲۵۹۲ کیلومتر مربع وجود دارد. از طرفی با توجه به کشت مرکبات در استان و حساس بودن درختان مرکبات به سمیت یون‌های خاص از جمله یون Cl^- ، استفاده از آب زیرزمینی برای آبیاری در نواحی ۴ و ۵ (حدود ۱۱٪ کل اراضی کشاورزی) که بیشتر شهرهای گنبد کاووس، آق قلا، بندر ترکمن و کردکوی را شامل می‌گردد، ممکن است باعث مسمومیت، کاهش عملکرد و در صورت تداوم آبیاری از بین رفتن درختان می‌شود.

نقشه‌های احتمال رسم شده برای ES و PS نیز نشان داد که بیشترین احتمال بروز مشکل شوری و سمیت در بخش‌هایی از مرکز (آق قلا)، غرب (بندر ترکمن) و شمال (گنبد کاووس) می‌باشد. بنابراین، در این اراضی محدودیت‌های استفاده از آب

بحث و نتیجه‌گیری در این تحقیق به منظور طبقه‌بندی و اولویت‌بندی آب زیرزمینی برای استفاده در کشاورزی در اراضی استان گلستان، تغییرات مکانی برخی از پارامترها و شاخص‌های مهم کیفی آب شامل EC، SO_4^{2-} ، Cl^- ، Na^+ ، pH، SAR، TDS، Ca^{2+} ، HCO_3^- ، Mg^{2+} و ES مورد بررسی قرار گرفت. بررسی توزیع فراوانی داده‌های متغیرهای کیفی آب زیرزمینی (شکل هیستوگرام و ضریب چولگی) نشان داد که توزیع فراوانی تمامی متغیرها بجز Na^+ و pH غیر نرمال می‌باشد؛ لذا به کمک تبدیل لگاریتمی طبیعی، توزیع داده‌های مورد نظر نرمال شد. در مطالعه ادھیکاری و همکاران (۲۰۱۰)، توزیع فراوانی Na^+ و Cl^- ، لوگ‌نرمال و توزیع فراوانی EC نرمال تشخیص داده شد. در تحقیق دلگادو و همکاران (۲۰۱۰) توزیع فراوانی K^+ ، NO_3^- ، Mg^{2+} ، Cl^- ، Na^+ و SO_4^{2-} لوگ‌نرمال گزارش شد. دلبری و همکاران (۱۳۸۹) توزیع فراوانی آب زیرزمینی را لوگ‌نرمال تشخیص دادند. جهانشاهی و همکاران (۱۳۹۳) نیز توزیع فراوانی متغیرهای کیفی آب زیرزمینی از قبیل شوری و سدیمی را لوگ‌نرمال گزارش کردند. در تحقیق دلبری و همکاران (۲۰۱۴) توزیع فراوانی EC، SAR و Na^+ و Cl^- ، لوگ‌نرمال و توزیع فراوانی pH و HCO_3^- نرمال به دست آمد. توزیع فراوانی EC و SAR در مطالعات دیگری نیز لوگ-نمایی داشته باشد (جاجی‌هاشمی‌جزی و همکاران، ۱۳۸۹؛ دلبری و همکاران، ۱۳۹۳).

بررسی همبستگی مکانی متغیرهای مورد نظر با رسم نیم‌تغییرنما تجربی در محیط نرم‌افزار GS+ انجام شد. نتایج نشان داد که تمامی متغیرهای کیفی آب از همبستگی مکانی خوب با ساختار کروی بخوردار هستند. رضایی و همکاران (۱۳۸۹) بهترین مدل ساختار مکانی را برای Na^+ ، SAR و EC مدل کروی گزارش دادند. در تحقیقی دیگر، بهترین مدل نیم‌تغییرنما برای Ca^{2+} ، TDS و SAR مدل کروی و برای Na^+ مدل گوسی گزارش گردید (جاجی‌هاشمی‌جزی و همکاران، ۱۳۸۹). سلاجمقه و همکاران (۱۳۹۲) برای EC، TDS و Cl^- مدل نمایی و برای SAR و SO_4^{2-} مدل کروی را بهترین مدل ساختار مکانی معرفی کردند. دلگادو و همکاران (۲۰۱۰) مدل کروی را به عنوان بهترین مدل ساختار مکانی خصوصیات کیفی

- دلبری، م، افراسیاب، پ، ۱۳۹۳. کاربرد کریجینگ شاخص و معمولی در مدل کردن کلر آب زیرزمینی. مجله محیط‌شناسی، جلد ۴۰، شماره ۳، ۷۶۴-۷۵۱.
- دلبری، م، افراسیاب، پ، سالاری، م، ۱۳۹۲. پنهانندی فراسنج‌های کیفی (شوری و سدیمی) آب با استفاده از روش‌های زمین آماری (مطالعه موردي: دشت کرمان). مهندسی منابع آب، جلد ۶، شماره ۱۶، ۱۱-۲۴.
- رضایی، م، دواتگر، ن، تاجداری، خ، ابوالپور، ب، ۱۳۸۹. بررسی تغییرات مکانی برخی شاخص‌های کیفی آب‌های زیرزمینی استان گیلان با استفاده از زمین‌آمار آب و خاک، جلد ۲۶، شماره ۵، ۹۴۱-۹۳۲.
- زهتابیان، غ، جان‌فزا، ع، محمد عسگری، ح، نعمت‌الهی، م.ج، ۱۳۸۹. مدل‌سازی توزیع مکانی برخی از خصوصیات شیمیایی آب‌های زیرزمینی (مطالعه موردي در حوضه آبخیز گرم‌سار). تحقیقات مرتع و بیابان ایران، جلد ۱۷، شماره ۱، ۷۳-۶۱.
- سلامجه، س، خراسانی، ن، میرسید حسینی، ح، زاهدی امیری، ق، ۱۳۹۲. توزیع مکانی کیفیت آب زیرزمینی با استفاده از روش‌های زمین‌آمار (مطالعه موردي شهر کرج). پژوهش‌های آبخیزداری، شماره ۱۰۰، ۵۶-۶۷.
- شعبانی، م، ۱۳۸۷. تعیین مناسبترین روش زمین‌آمار در تهیه‌ی نقشه تغییرات H و TDS آب‌های زیرزمینی (مطالعه موردي: دشت ارسنجان). مجله مهندسی آب، جلد ۱، شماره ۱، ۴۶-۵۷.
- محمدی قلعه‌نی، م، ابراهیمی، ک، عراقی نژاد، ش، ۱۳۹۰. ارزیابی کمی و کیفی منابع آب زیرزمینی (مطالعه موردي: آبخوان‌های طاوه و اراك). دانش آب و خاک، جلد ۲۱، شماره ۲، ۱۰۸-۹۳.
- Adhikary, P.P., Chandrasekharan, H., Chakraborty, D., Kamble, K., 2010 Assessment of groundwater pollution in West Delhi, India using geostatistical approach. Environmental Monitoring and Assessment, 167, 599–615.*
- APHA. AWWA. WPCF. 2005. Standard Methods for Examination of Water and Wastewater, 21st Ed, Washington, DC: American Public Health Association, 1496 PP.*

زیرزمینی برای حصول عملکرد بهتر بایستی مورد توجه کشاورزان و متولیان امر قرار گیرد. چرا که شوری آب آبیاری باعث کمتر شدن عملکرد محصولات زراعی می‌شود. در صورت بالا بودن EC آب آبیاری، املاح موجود در آب با گذشت زمان در منطقه توسعه ریشه ذخیره شده، جذب آب توسط ریشه کمتر می‌شود و در نتیجه عملکرد گیاه را تحت تأثیر قرار می‌دهد. آبیاری طولانی با آب شور علاوه بر صدمه زدن به گیاه، پراکندگی ذرات خاک را نیز به همراه خواهد داشت. خطر تخریب ساختمان و کاهش نفوذ پذیری خاک بیوژه در مقادیر SAR بالای ۲۴ قابل توجه می‌باشد (آیز و وسکات، ۱۹۸۵). از طرفی برداشت بی‌رویه آب زیرزمینی برای آبشویی منطقه ریشه، به تدریج باعث افت آب زیرزمینی خواهد شد. از جمله راه‌کارهای مدیریتی برای استفاده هرچه بهتر از منابع آب و خاک استان و بدست آوردن بیشترین عملکرد در مناطقی که مشکل شوری دارند، کشت محصولات و واریته‌های مقاوم‌تر به شوری (مس، ۱۹۹۰) و یا جایگزین کردن روش‌های سنتی آبیاری با روش‌های مدرن می‌باشد.

منابع

- جعفری، ر، بخشندۀ مهر، ل، ۱۳۹۳. بررسی تغییرات مکانی شوری و قلیائیت آب‌های زیرزمینی استان اصفهان با استفاده از زمین‌آمار. علوم و فنون کشاورزی و منابع طبیعی، جلد ۱۸، شماره ۱۹۴، ۶۱-۱۸۳.
- جهانشاهی، ا، روحی مقدم، ع، دهواری، ع، ۱۳۹۳. ارزیابی پارامترهای کیفی آب زیرزمینی با استفاده از GIS و زمین‌آمار (مطالعه موردي: آبخوان دشت شهر بایک). دانش آب و خاک، جلد ۲۶، شماره ۲، ۱۹۷-۱۸۳.
- حاجی هاشمی جزی، م.ر، آتشگاهی، م، حمیدیان، ا.ح، ۱۳۸۹. برآورد مکانی مولفه‌های کیفی آب‌های زیرزمینی با استفاده از روش‌های زمین‌آمار (مطالعه موردي: دشت گلپایگان). محیط زیست طبیعی، جلد ۳، شماره ۴، ۳۵۷-۳۴۷.
- دلبری، م، افراسیاب، پ، میرعمادی، س.ر، ۱۳۸۹. تجزیه و تحلیل تغییرات مکانی-زمانی شوری و عمق آب زیرزمینی. آبیاری و زهکشی ایران. جلد ۴، شماره ۳، ۳۵۹-۳۷۴.

- Goovaerts, P., 2009. AUTO-IK: a 2D indicator kriging program for the automated non-parametric modeling of local uncertainty in earth sciences. Computers and Geosciences, 35, 1255-1270.*
- Isaaks, E., Srivastava, R.M., 1989. An Introduction to Applied Geostatistics. Oxford University Press, New York, 561 PP.*
- Mass, E.V., 1990. Crop Salt Tolerance. Agricultural Salinity Assessment and Management Manual. Tanji, K.K. (ed.). ASCE, New York. pp 262-304.*
- Paniconi, C., Kleinfeldt, S., Deckmyn, J., Giacomelli, A., 1999. Integrating GIS and data visualization tools for distributed hydrologic modeling. Transactions in GIS, 3, 97-118.*
- Richards, L.A., 1954. Diagnosis and Improvement of Saline and Alkali Soils. Handbook, USDA 60. Washington DC, USA.*
- Shainberg, I., Oster, J.D., 1978. Quality of irrigation water. IIIC Publication No. 2, Volcani Center, P.O.Box 49, Bet Dagan, Israel, 65 p.*
- Vieux, B.E., 1991. Geographic information systems and non-point source water quality and quantity modeling. Hydrological Processes, 5, 101-113.*
- Ayres, R.S., Westcott, D.W., 1985. Water quality for agriculture. F.A.O. Irrigation and Drainage Paper No. 29, F.A.O. Rome.*
- Delbari, M., Amiri, M., Bahraini Motlagh, M., 2014. Assessing groundwater quality for irrigation using indicator kriging method. Applied Water Science. DOI 10.1007/s13201-014-0230-6.*
- Delgado, C., Pacheco, J., Cabrera, A., Batllori, E., Orellana, R., Bautista, F., 2010. Quality of groundwater for irrigation in tropical karst environment: The case of Yucatan, Mexico. Agricultural Water Management, 97, 1423-1433.*
- Demir, Y., Sahin, S., Guler, M., Cemek, B., Gunal, H., Arslan, H., 2009. Spatial variability of depth and salinity of groundwater under irrigated ustifluvents in the Middle Black Sea Region of Turkey. Environmental Monitoring and Assessment, 158, 279-294.*
- Doneen, L.D., 1954. Salination of soil by salts in the irrigation water. American Geophysical Union Transactions 35, 943-950.*
- ESRI (Environmental Systems Research Institute Inc). 2004. ArcGIS 9. Getting Started with ArcGIS. ESRI, Redlands.*
- Goovaerts, P., 1997. Geostatistics for Natural Resources Evaluation. Oxford University Press, New York, 496 PP.*